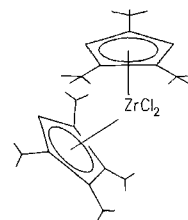
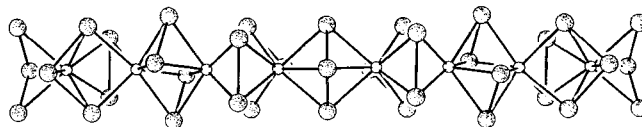


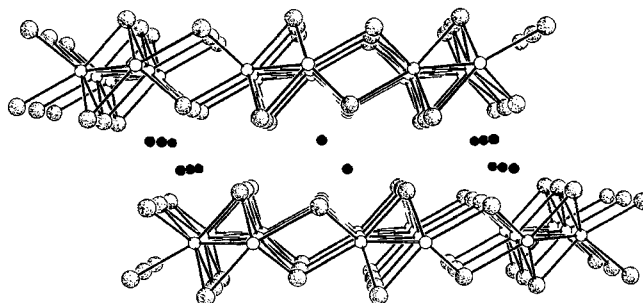
- 3 **Sitzmann\*, H., Zhou, P., Wolmershäuser, G.**  
 ▶ Titan-, Zirconium- und Hafniumkomplexe mit 1,2,4-Tri-*tert*-butylcyclopentadienyl-Liganden  
 Titanium, Zirconium and Hafnium Complexes with 1,2,4-Tri-*tert*-butylcyclopentadienyl Ligands



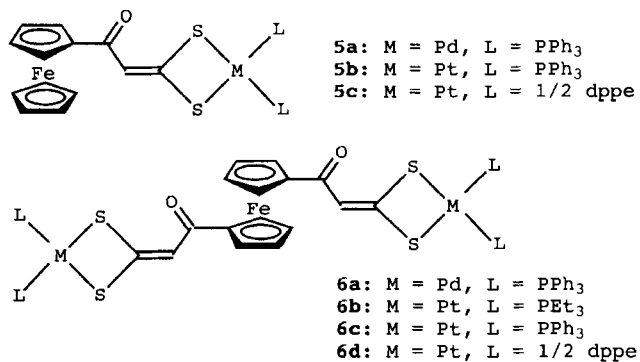
- 11 **Tremel, W.**  
 Nb<sub>4</sub>Te<sub>17</sub>I<sub>4</sub>, ein neues pseudo-eindimensionales Festkörper-Polytellurid  
 ▶ Nb<sub>4</sub>Te<sub>17</sub>I<sub>4</sub>, a New Pseudo One-Dimensional Solid-State Polytelluride



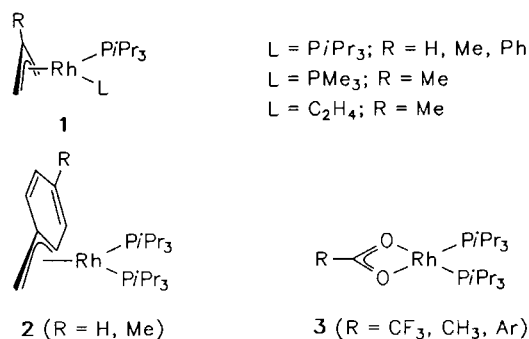
- 15 **Tremel\*, W., Wortmann, U., Vomhof, T., Jeitschko, W.**  
 ▶ Synthese, Struktur und elektronische Eigenschaften von Cu<sub>0.69</sub>NbTe<sub>2</sub>  
 Synthesis, Structure and Electronic Properties of Cu<sub>0.69</sub>NbTe<sub>2</sub>



- 23 **Buchweitz, J., Gompper\*, R., Polborn, K., Robl, C., Sailer, M.-T., Weigand\*, W.**  
 Funktionalisierte 1,1-Ethendithiolate als Liganden, III. – Palladium(II)- und Platin(II)-Komplexe mit Ferrocenyl-substituierten 1,1-Ethendithiolat-Liganden. Kristallstrukturanalysen von *cis*-(Ph<sub>3</sub>P)<sub>2</sub>M[S<sub>2</sub>C=CH-C(O)-(η<sup>5</sup>-C<sub>5</sub>H<sub>4</sub>)Fe(η<sup>5</sup>-C<sub>5</sub>H<sub>5</sub>)] (M = Pd, Pt)  
 ▶ Functionalized 1,1-Ethenedithiolates as Ligands, III. – Palladium(II) and Platinum(II) Complexes with Ferrocenyl-Substituted 1,1-Ethenedithiolate Ligands. Crystal Structure Analyses of *cis*-(Ph<sub>3</sub>P)<sub>2</sub>M[S<sub>2</sub>C=CH-C(O)-(η<sup>5</sup>-C<sub>5</sub>H<sub>4</sub>)Fe(η<sup>5</sup>-C<sub>5</sub>H<sub>5</sub>)] (M = Pd, Pt)

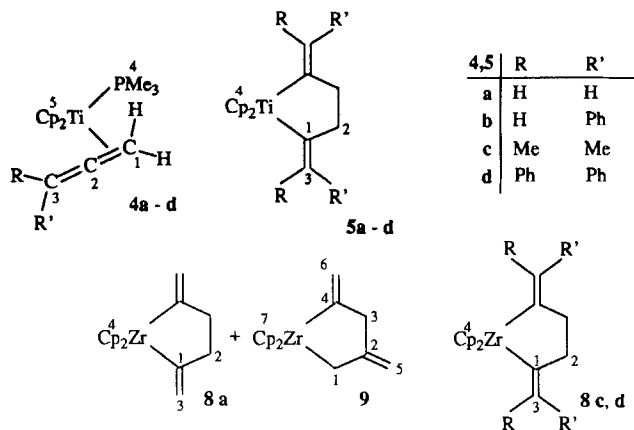


- 27 **Werner\*, H., Schäfer, M., Nürnberg, O., Wolf, J.**  
 ▶ η<sup>3</sup>-Allyl- und η<sup>3</sup>-Benzyl-Rhodiumkomplexe: Synthese, Struktur- und Reaktionen mit Carbonsäuren  
 η<sup>3</sup>-Allyl- and η<sup>3</sup>-Benzyl Rhodium Complexes: Synthesis, Structure Dynamic, and Reactions with Carboxylic Acids



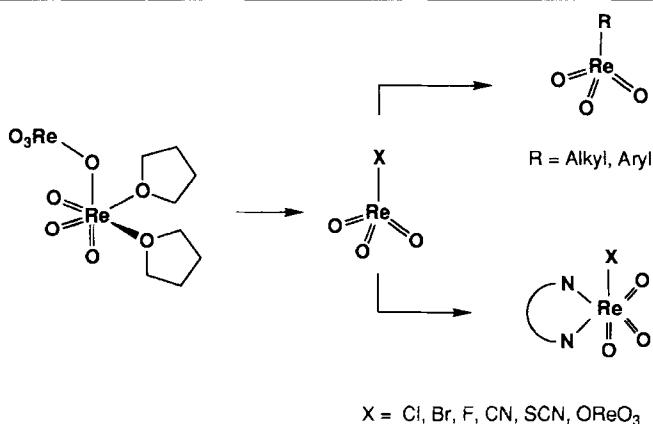
**Binger\*, P., Langhauser, F., Wedemann, P., Gabor, B., Mynott, R., Krüger, C.**

- ▶ Allenkomplexe des Titanocens und Zirconocens: Darstellung und Reaktivität  
Allene Complexes of Titanocene and Zirconocene: Synthesis and Reactivity



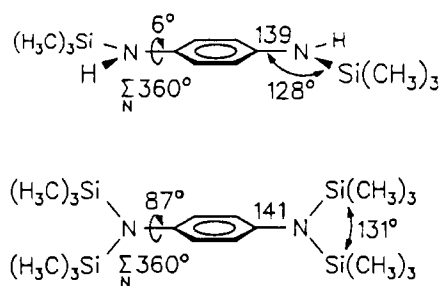
**Herrmann\*, W. A., Kühn, F. E., Romão, C. C., Kleine, M., Mink, J.**

- ▶ Mehrfachbindungen zwischen Hauptgruppenelementen und Übergangsmetallen, CXXIX. – Chlorotrioxorhenium. Neue Synthesen, Reaktionen und Derivate  
Multiple Bonds between Main Group Elements and Transition Metals, CXXIX. – Chlorotrioxorhenium. Novel Syntheses, Reactions, and Derivatives



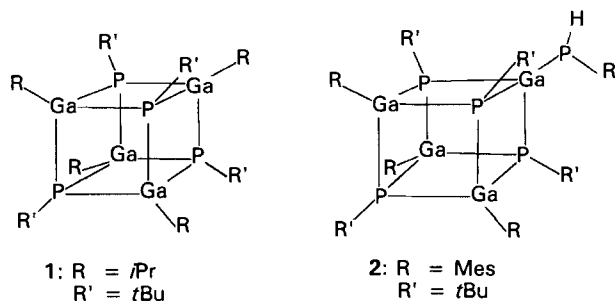
**Bock\*, H., Meuret, J., Näther, C., Krynitz, U.**

- ▶ Strukturen sterisch überfüllter und ladungsgestörter Moleküle, 38. – Die verschiedenartigen Konformationen *N*-Trimethylsilyl-substituierter *p*-Phenyldiaminderivate: Untersuchungen an Einkristallen sowie in der Gasphase  
Structures of Sterically Overcrowded and Charge-Perturbed Molecules, 38. – The Different Conformations of *N*-Trimethylsilyl-Substituted *p*-Phenylenediamine Derivatives: Investigation of Single Crystals and in the Gas Phase



**Niediek, K., Neumüller\*, B.**

- Synthese und Charakterisierung von Gallium-Phosphor-Heterocubanen  
▶ Synthesis and Characterization of Gallium-Phosphorus Heterocubanes

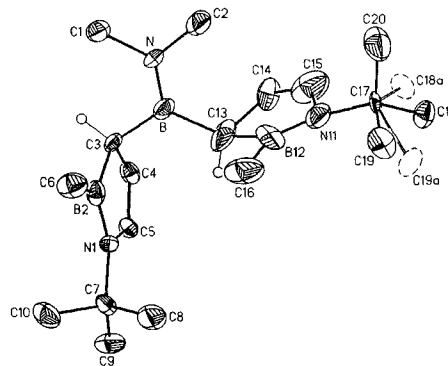


73

Schmid\*, G., Haske, S., Zaika, D., Boese, R., Bläser, D.

1,2-Azaborolyll-Komplexe, XXIX. – Synthese und Eigenschaften von 1,2-Azaborolyllboranen

- 1,2-Azaborolyll Complexes, XXIX. – Synthesis and Properties of 1,2-Azaborolyllboranes

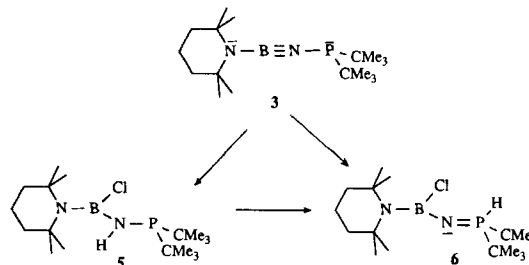


81

Nöth\*, H., Stolpmann, H., Thomann, M.

- Beiträge zur Chemie des Bors, 221. – Kinetische und thermodynamische Produktkontrolle bei der Addition von HX-Verbindungen an ein Amino-phosphanyl-imino-boran  $R_2N-B\equiv N-PR'_2$

Contributions to the Chemistry of Boron, 221. – Kinetic and Thermodynamic Product Control in the Addition of HX Compounds to an Amino Phosphanyl-imino Borane  $R_2N-B\equiv N-PR'_2$

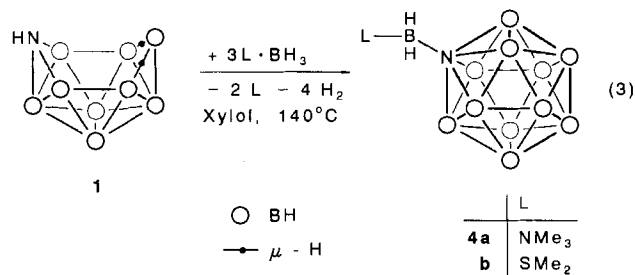


87

Schneider, L., Englert, U., Paetzold\*, P.

- Ein neuer Zugang zum ikosaedrischen *closo*-NB<sub>11</sub>-Gerüst

A Novel Access to the Icosahedral *closo* NB<sub>11</sub> Skeleton



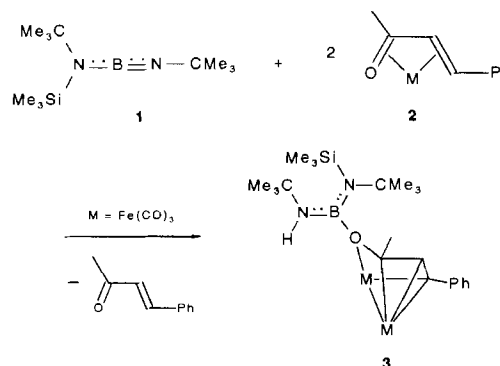
## Notizen / Notes

91

Braunschweig, H., Spaniol, T., Paetzold\*, P.

- Zur Bildung eines  $Fe_2(CO)_6$ -Komplexes mit (Boryloxy)allyl-Brücke

On the Formation of a  $Fe_2(CO)_6$  Complex with a (Boryloxy)allyl Bridge

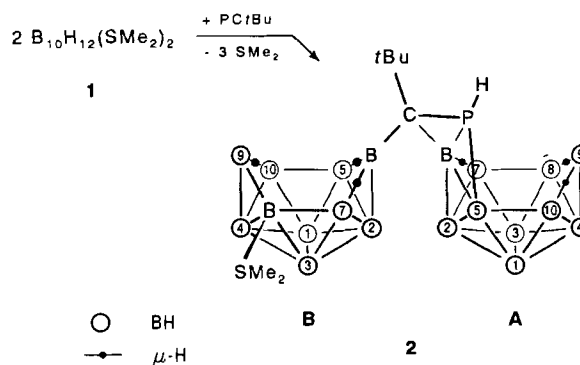


93

Meyer, F., Paetzold\*, P., Englert, U.

- Reaktion von Decaboran mit dem Phosphaalkin PCtBu

Reaction of Decaborane with the Phosphaalkyne PCtBu

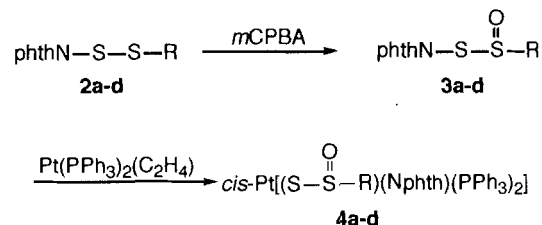


97

Weigand\*, W., Wunsch, R., Robl, C., Amrein, W.

Metall-Komplexe von funktionalisierten schwefelhaltigen Liganden, VII. – Synthese von Platin(II)-Alkan- und -Arenthiosulfinato-Komplexen – Kristallstrukturanalyse von *N*-[(Benzylsulfanyl)thio]phthalimid

- Metal Complexes of Functionalized Sulfur-Containing Ligands, VII. – Synthesis of Platinum(II) Alkane- and Arenethiosulfinato – Complexes Crystal Structure Analysis of *N*-[(Benzylsulfanyl)thio]phthalimide



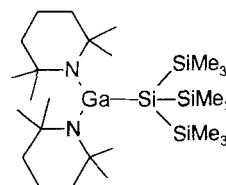
a: R = C<sub>3</sub>H<sub>7</sub> b: R = C<sub>4</sub>H<sub>9</sub>  
c: R = CH<sub>2</sub>C<sub>6</sub>H<sub>5</sub> d: R = *p*-CH<sub>3</sub>-C<sub>6</sub>H<sub>4</sub>

101

Frey, R., Linti\*, G., Polborn, K.

- Zur Chemie der Galliumverbindungen, II. – Darstellung und Struktur von Bis(2,2,6,6-tetramethylpiperidino)[tris(trimethylsilyl)silyl]gallium – ein erstes Beispiel für ein monomeres Bis(amino)gallan mit Gallium-Silicium-Bindung

On the Chemistry of Gallium Compounds, II. – Preparation and Structure of Bis(2,2,6,6-tetramethylpiperidino)[tris(trimethylsilyl)silyl]gallium – First Example for a Monomeric Bis(amino)gallane with Gallium – Silicon Bond



## B

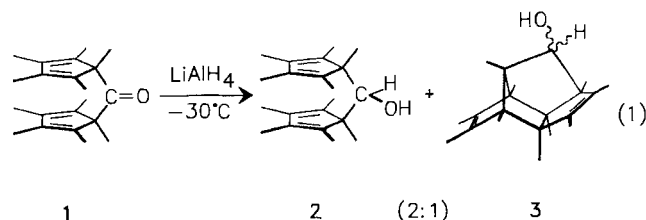
### Teil B: Organische Chemie / Part B: Organic Chemistry

107

Jutzi\*, P., Mix, A., Lindermeier, T., Stammler, H.-G., Neumann, B.

- Bis(pentamethylcyclopentadienyl)methanol: Synthese, Struktur und Derivatisierung

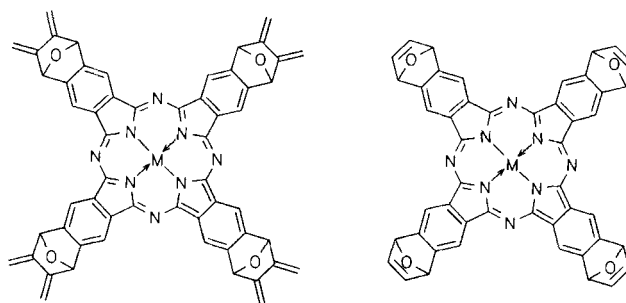
Bis(pentamethylcyclopentadienyl)methanol: Synthesis, Structure, and Derivatization



113

Feucht, C., Linßen, T., Hanack\*, M.

- Synthese dienophiler und enophiler Phthalocyanine  
Synthesis of Dienophilic and Enophilic Phthalocyanines

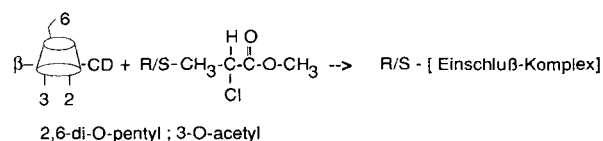


119

Köhler\*, J. E. H., Hohla, M., Richters, M., König, W. A.

Eine molekulddynamische Simulation der Komplexbildung zwischen (*R*)/(*S*)-2-Chlorpropionsäure-methylester und Heptakis(3-*O*-acetyl-2,6-di-*O*-pentyl)-β-cyclodextrin

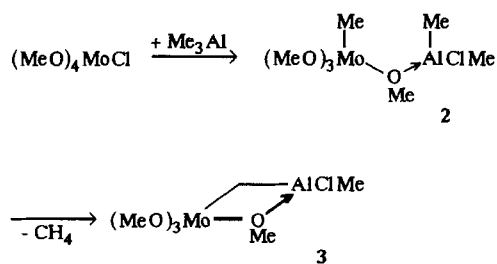
- A Molecular-Dynamics Simulation of the Complex Formation between Methyl (*R*)/(*S*)-2-Chloropropionate and Heptakis(3-*O*-acetyl-2,6-di-*O*-pentyl)-β-cyclodextrin



127 **Kauffmann\*, T., Enk, M., Fiegenbaum, P., Hansmersmann, U., Kaschube, W., Papenberg, M., Toliopoulos, E., Welke, S.**

- Organomolybdän- und Organowolfram-Reagenzien, VI. – Zur Kenntnis der carbonylmethylenierenden Molybdän-Aluminium- und Wolfram-Aluminium- $\mu$ -methylen-Komplexe

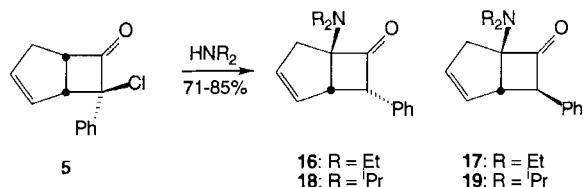
Organomolybdenum and Organotungsten Reagents, VI. – On the Carbonyl-Methylenating Molybdenum-Aluminium and Tungsten-Aluminium  $\mu$ -Methylene Complexes



137 **Butenschön, H.**

Synthese von 5-Methoxy- und 5-(Dialkylamino)bicyclo[3.2.0]hept-2-en-6-on-Derivaten durch *cine*-Substitution mit Methoxid-Anionen und Dialkylaminen

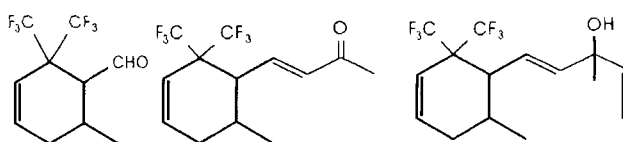
- Synthesis of 5-Methoxy- and 5-(Dialkylamino)bicyclo[3.2.0]hept-2-en-6-one Derivatives by *cine* Substitution with Methoxide Anions and Dialkylamines



145 **Abele, H., Haas\*, A., Lieb, M., Zwingenberger, J.**

- Darstellung geeigneter Vorstufen zur Synthese von 16,16,16,17,17,17-Hexafluorretinalen

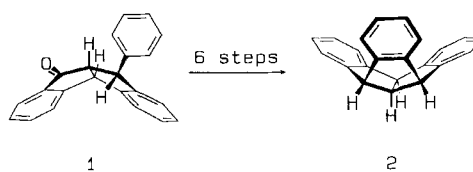
Preparation of Suitable Precursors for the Synthesis of 16,16,16,17,17,17-Hexafluorretinals



151 **Kuck\*, D., Neumann, E., Schuster, A.**

Benzo-anellierte Centropolyquinane, 14. – Synthese von Tribenzotriquinacen durch stereokontrollierte Cyclisierung von Phenyl-substituierten  $C_8$ -Diindanen (4 $\beta\alpha$ ,9,9 $\alpha\alpha$ ,10-Tetrahydroindeno[1,2-*a*]indenen)

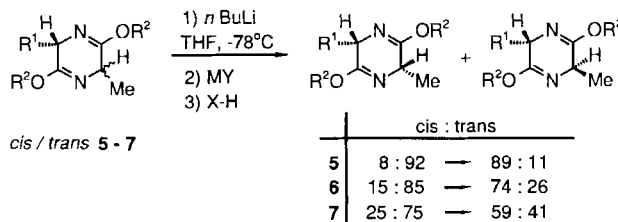
- Benzoannellated Centropolyquinanes, 14. – Synthesis of Tribenzotriquinacene by Stereocontrolled Cyclization of Phenyl-Substituted  $C_8$ -Diindans (4 $\beta\alpha$ ,9,9 $\alpha\alpha$ ,10-Tetrahydroindeno[1,2-*a*]indenes)



165 **Hünig\*, S., Klauzner, N., Wenner H.**

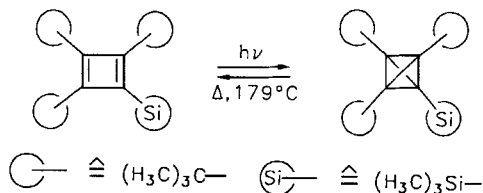
- Stereoselektive Protonierung von Carbanionen, 2. – Diastereoselektive Protonierung von Schöllkopf-Bis-lactimether-Anionen

Stereoselective Protonation of Carbanions, 2. – Diastereoselective Protonation of Schöllkopf's Bislactim Ether Anions



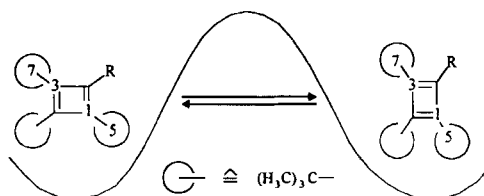
173 **Maier\*, G., Born, D., Bauer, I., Wolf, R., Boese, R., Cremer, D.**

- Kleine Ringe, 78. – Tri-*tert*-butyl(trimethylsilyl)cyclobutadien und Tri-*tert*-butyl(trimethylsilyl)tetrahedran  
Small Rings, 78. – Tri-*tert*-butyl(trimethylsilyl)cyclobutadiene and Tri-*tert*-butyl(trimethylsilyl)tetrahedrane



191 **Maier\*, G., Wolf, R., Kalinowski, H.-O., Boese, R.**

- Kleine Ringe, 79. – Synthese und Eigenschaften neuer Silyl-substituierter Cyclobutadiene und Tetrahedrane  
Small Rings, 79. – Synthesis and Properties of Novel Silyl-Substituted Cyclobutadienes and Tetrahedranes



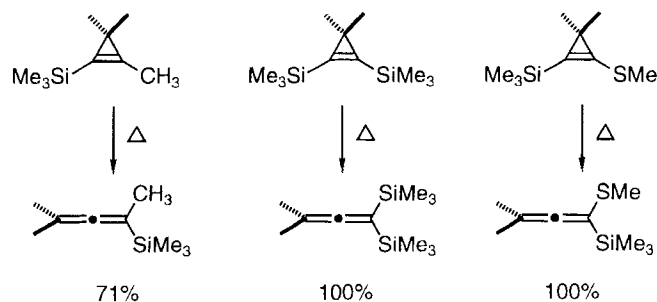


237

Walsh, R., Untiedt, S., de Meijere\*, A.

Gasphasen-Kinetik der Pyrolyse einiger 3,3-Dimethyl-1-(trimethylsilyl)cyclopropene – Unerwartete Produkt-Verteilung bei der Cyclopropen-Umlagerung

- Gas-Phase Kinetics of the Pyrolysis of Some 3,3-Dimethyl-1-(trimethylsilyl)cyclopropenes – Unexpected Product Distribution in the Cyclopropene Rearrangement

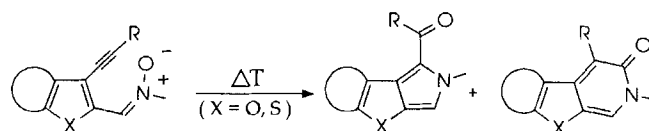


247

Bussenius, J., Laber, N., Müller, T., Eberbach\*, W.

- Ein neuer Weg zu isoanellierten Heteroaromaten, 2. – Die Dipol-Route zu Furo-/Thieno-Pyrrolen und  $\alpha$ -Pyridonen, sowie deren Benzo-Derivaten

A Novel Route to Isoannulated Heteroaromatic Compounds, 2. – The Dipole Route to Furo/Thieno Pyrroles and  $\alpha$ -Pyridones, and Their Benzo Derivatives

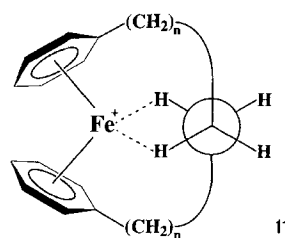


261

Raabe, N., Karraß, S., Schwarz\*, H.

Fe(I)-vermittelte regio- und stereoselektive C–C/C–H-Bindungs-Aktivierung von internen Methylen-Gruppen in  $\alpha,\omega$ -Diphenylalkanen

- Fe(I)-Mediated Regio- and Stereoselective C–C/C–H Bond Activation of Internal Methylene Groups of  $\alpha,\omega$ -Diphenylalkanes



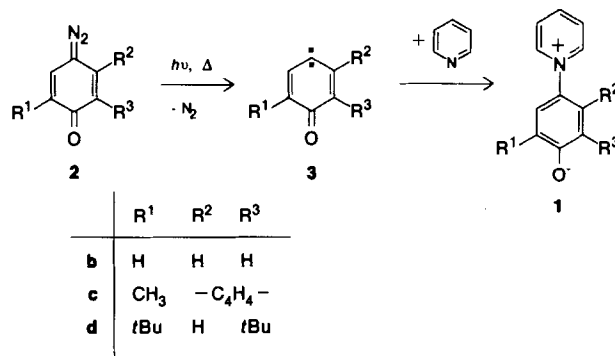
### Kurzmitteilungen / Short Communications

267

Sander\*, W., Hintze, F.

Ein neuer synthetischer Zugang zu Pyridinium-*N*-phenoxid-Betain-Farbstoffen

- A New Synthetic Approach to Pyridinium *N*-Phenoxide Betaine Dyes



271

Heidel, H., Huttner\*, G., Vogel, R., Helmchen, G.

- Ein neuartiger chiraler Synthesebaustein mit Neopentangerüst: Chemo-enzymatische Darstellung von (*R*)-CH<sub>3</sub>C(CH<sub>2</sub>OSO<sub>2</sub>CF<sub>3</sub>)(CH<sub>2</sub>Cl)(CH<sub>2</sub>Br)

A Novel Chiral Building Block with Neopentane Framework for Synthesis: Chemo-Enzymatic Preparation of (*R*)-CH<sub>3</sub>C(CH<sub>2</sub>OSO<sub>2</sub>CF<sub>3</sub>)(CH<sub>2</sub>Cl)(CH<sub>2</sub>Br)

